

Technische Information / Technical Information

Netz-Thyristor-Modul
Phase Control Thyristor Module

TT 400 N 26 KOF

N

Elektrische Eigenschaften / Electrical properties

Höchstzulässige Werte / Maximum rated values

Periodische Vorwärts- und Rückwärts-Spitzensperrspannung repetitive peak forward off-state and reverse voltages	$T_{vj} = -40^{\circ}\text{C} \dots T_{vj\ max}$	V_{DRM}, V_{RRM}	2600	V V
Vorwärts-Stoßspitzenperrspannung non-repetitive peak forward off-state voltage	$T_{vj} = -40^{\circ}\text{C} \dots T_{vj\ max}$	V_{DSM}	2600	V V
Rückwärts-Stoßspitzenperrspannung non-repetitive peak reverse voltage	$T_{vj} = +25^{\circ}\text{C} \dots T_{vj\ max}$	V_{RSM}	2700	V V
Durchlaßstrom-Grenzeffektivwert RMS on-state current		I_{TRMSM}	800	A
Dauergrenzstrom average on-state current	$T_C = 85^{\circ}\text{C}$ $T_C = 71^{\circ}\text{C}$	I_{TAVM}	400 510	A
Stoßstrom-Grenzwert surge current	$T_{vj} = 25^{\circ}\text{C}, t_p = 10\text{ms}$ $T_{vj} = T_{vj\ max}, t_p = 10\text{ms}$	I_{TSM}	13000 11000	A A
Grenzlastintegral I^2t -value	$T_{vj} = 25^{\circ}\text{C}, t_p = 10\text{ms}$ $T_{vj} = T_{vj\ max}, t_p = 10\text{ms}$	I^2t	845000 605000	A ² s A ² s
Kritische Stromsteilheit critical rate of rise of on-state current	DIN IEC 747-6 $f = 50\text{Hz}, i_{GM} = 1\text{A}, di_G/dt = 1\text{A}/\mu\text{s}$	$(di_T/dt)_{cr}$	150	A/ μs
Kritische Spannungssteilheit critical rate of rise of off-state voltage	$T_{vj} = T_{vj\ max}, V_D = 0,67 V_{DRM}$ 6. Kennbuchstabe / 6th letter F	$(dv_D/dt)_{cr}$	1000	V/ μs

Charakteristische Werte / Characteristic values

Durchlaßspannung on-state voltage	$T_{vj} = T_{vj\ max}, i_T = 1500\text{A}$	V_T	max.	1,88	V
Schleusenspannung threshold voltage	$T_{vj} = T_{vj\ max}$	$V_{(TO)}$		1,00	V
Ersatzwiderstand slope resistance	$T_{vj} = T_{vj\ max}$	r_T		0,50	mW
Zündstrom gate trigger current	$T_{vj} = 25^{\circ}\text{C}, V_D = 6\text{V}$	I_{GT}	max.	250	mA
Zündspannung gate trigger voltage	$T_{vj} = 25^{\circ}\text{C}, V_D = 6\text{V}$	V_{GT}	max.	2,2	V
Nicht zündender Steuerstrom gate non-trigger current	$T_{vj} = T_{vj\ max}, V_D = 6\text{V}$ $T_{vj} = T_{vj\ max}, V_D = 0,5 V_{DRM}$	I_{GD}	max.	10 5	mA mA
Nicht zündende Steuerspannung gate non-trigger voltage	$T_{vj} = T_{vj\ max}, V_D = 0,5 V_{DRM}$	V_{GD}	max.	0,25	V
Haltestrom holding current	$T_{vj} = 25^{\circ}\text{C}, V_D = 6\text{V}, R_A = 5\text{W}$	I_H	max.	300	mA
Einraststrom latching current	$T_{vj} = 25^{\circ}\text{C}, V_D = 6\text{V}, R_{GK} \geq 10\text{W}$ $i_{GM} = 1\text{A}, di_G/dt = 1\text{A}/\mu\text{s}, t_G = 20\mu\text{s}$	I_L	max.	1500	mA
Vorwärts- und Rückwärts-Sperrstrom forward off-state and reverse currents	$T_{vj} = T_{vj\ max}$ $V_D = V_{DRM}, V_R = V_{RRM}$	i_D, i_R	max.	100	mA
Zündverzug gate controlled delay time	DIN IEC 747-6 $T_{vj} = 25^{\circ}\text{C}, i_{GM} = 1\text{A}, di_G/dt = 1\text{A}/\mu\text{s}$	t_{gd}	max.	4	μs
Freiwerdezeit circuit commutated turn-off time	$T_{vj} = T_{vj\ max}, i_{TM} = I_{TAVM}$ $V_{RM} = 100\text{V}, V_{DM} = 0,67 V_{DRM}$ $dv_D/dt = 20\text{V}/\mu\text{s}, -di_T/dt = 10\text{A}/\mu\text{s}$ 5. Kennbuchstabe / 5th letter O	t_q	typ.	300	μs
Isolations-Prüfspannung insulation test voltage	RMS, $f = 50\text{Hz}, t = 1\text{min}$ RMS, $f = 50\text{Hz}, t = 1\text{sec}$	V_{ISOL}		3 3,6	kV kV

Technische Information / Technical Information

Netz-Thyristor-Modul
Phase Control Thyristor Module TT 400 N 26 KOF

eupc

N  

Thermische Eigenschaften / Thermal properties

Innerer Wärmewiderstand thermal resistance, junction to case	pro Modul / per module, $\Theta = 180^\circ\text{sin}$ pro Zweig / per arm, $\Theta = 180^\circ\text{sin}$ pro Modul / per module, DC pro Zweig / per arm, DC	R_{thJC}	max. 0,0325 °C/W max. 0,0650 °C/W max. 0,0310 °C/W max. 0,0620 °C/W
Übergangs-Wärmewiderstand thermal resistance, case to heatsink	pro Modul / per module pro Zweig / per arm	R_{thCK}	max. 0,01 °C/W max. 0,02 °C/W
Höchstzulässige Sperrschichttemperatur max. junction temperature		$T_{vj \text{ max}}$	125 °C
Betriebstemperatur operating temperature		$T_{c \text{ op}}$	- 40...+125 °C
Lagertemperatur storage temperature		T_{stg}	- 40...+130 °C

Mechanische Eigenschaften / Mechanical properties

Gehäuse, siehe Anlage case, see appendix			Seite 3 page 3	
Si-Elemente mit Druckkontakt, Amplifying-Gate Si-pellets with pressure contact, amplifying-gate				
Innere Isolation internal insulation			AlN	
Anzugsdrehmoment für mechanische Befestigung mounting torque	Toleranz / tolerance $\pm 15\%$	M1	6	Nm
Anzugsdrehmoment für elektrische Anschlüsse terminal connection torque	Toleranz / tolerance +5% / -10%	M2	12	Nm
Gewicht weight		G	typ. 1500	g
Kriechstrecke creepage distance			19	mm
Schwingfestigkeit vibration resistance	f = 50Hz		50	m/s ²

Mit dieser technischen Information werden Halbleiterbauelemente spezifiziert, jedoch keine Eigenschaften zugesichert. Sie gilt in Verbindung mit den zugehörigen Technischen Erläuterungen. / This technical information specifies semiconductor devices but promises no characteristics. It is valid in combination with the belonging technical notes.

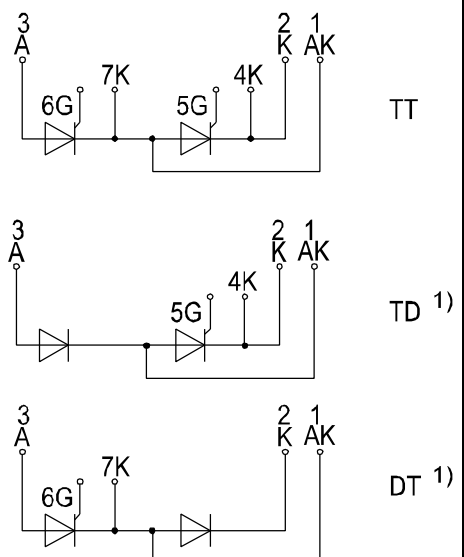
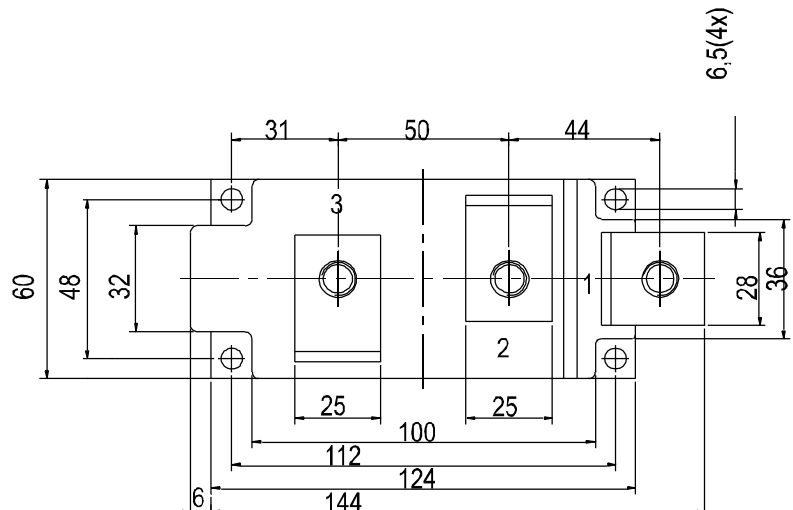
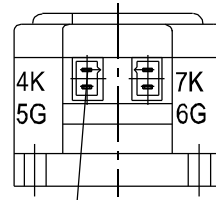
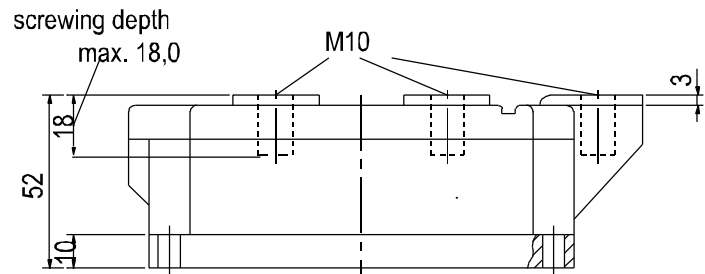
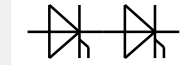
Technische Information / Technical Information

eupc

Netz-Thyristor-Modul
Phase Control Thyristor Module

TT 400 N 26 KOF

N



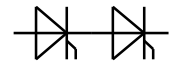
Technische Information / Technical Information

Netz-Thyristor-Modul
Phase Control Thyristor Module

TT 400 N 26 KOF

eupec

N



Analytische Elemente des transienten Wärmewiderstandes Z_{thJC} für DC

Analytical elements of transient thermal impedance Z_{thJC} for DC

Pos. n	1	2	3	4	5	6	7
$R_{thn} [^{\circ}\text{C} / \text{W}]$	0,00137	0,00486	0,0114	0,0223	0,0221		
$\tau_n [\text{s}]$	0,00076	0,0086	0,101	0,56	3,12		

Analytische Funktion: $Z_{thJC} = \sum_{n=1}^{n_{\max}} R_{thn} \left(1 - e^{-\frac{t}{\tau_n}} \right)$